

## Импеданс и теплоемкость $RM_4Al_8$ и $RAg_6In_6$ соединений

А. М. Гуревич<sup>1</sup>, В. М. Дмитриев<sup>1,2</sup>, В. Н. Еропкин<sup>1</sup>, Б. Ю. Котур<sup>4</sup>,  
Н. Н. Пренцлау<sup>1</sup>, В. Суски<sup>2,3</sup>, А. В. Терехов<sup>1</sup>, Л. В. Шлык<sup>1</sup>

<sup>1</sup> Физико-технический институт низких температур им. Б. И. Веркина НАН Украины  
пр. Ленина, 47, г. Харьков, 61103, Украина  
E-mail: dmitriev@ilt.kharkov.ua

<sup>2</sup> International Laboratory of High Magnetic Fields and Low Temperatures  
95 Gajowicka Str., 53-421, Wrocław, Poland

<sup>3</sup> W. Trzebiatowski Institute of Low Temperatures and Structure Research Polish Academy of Sciences  
P. O. 1410, 50-950, Wrocław, Poland

<sup>4</sup> Львовский государственный университет им. И. Франко, ул. Кирилла и Мефодия, 6, г. Львов, 79005, Украина

Статья поступила в редакцию 6 июня 2001 г.

Приведены результаты экспериментальных исследований температурных зависимостей поверхностного сопротивления и теплоемкости тройных редкоземельных соединений:  $LuFe_4Al_8$ ,  $ScFe_4Al_8$ ,  $CeFe_4Al_8$ ,  $CeCr_4Al_8$ ,  $YFe_4Al_8$ ,  $YCr_4Al_8$ ,  $YMn_4Al_8$ ,  $UCu_4Al_8$ ,  $LaAg_6In_6$  и  $PrAg_6In_6$ , имеющих структуру типа  $ThMn_{12}$ . Показано, что при некоторой, характерной для каждого соединения с Fe, Cr и Mn, температуре ниже температуры Нееля наблюдается скачок полного импеданса и теплоемкости. При более низкой температуре в слабом магнитном поле в этих соединениях наблюдается отрицательное магнитосопротивление. Обнаружены сверхпроводящие фазы в соединениях  $ScFe_4Al_8$  ( $T_c = 6$  К)  $YCr_4Al_8$  ( $T_c = 4,5$  К),  $YFe_4Al_8$  ( $T_c = 6$  К) и  $PrAg_6In_6$  ( $T_c = 8,3$  К).

Приведено результати експериментальних досліджень температурних залежностей поверхневого опору та теплоємності потрійних рідкісновугільних сполук:  $LuFe_4Al_8$ ,  $ScFe_4Al_8$ ,  $CeFe_4Al_8$ ,  $CeCr_4Al_8$ ,  $YFe_4Al_8$ ,  $YCr_4Al_8$ ,  $YMn_4Al_8$ ,  $UCu_4Al_8$ ,  $LaAg_6In_6$  та  $PrAg_6In_6$ , що мають структуру типу  $ThMn_{12}$ . Показано, що при деякій, характерній для кожної сполуки з Fe, Cr та Mn, температурі нижче температури Нееля спостерігається стрибок повного імпедансу та теплоємності. При більш низькій температурі в слабкому магнітному полі в цих сполуках спостерігається від'ємний магнітоопір. Виявлено надпровідні фази в сполуках  $ScFe_4Al_8$  ( $T_c = 6$  К),  $YCr_4Al_8$  ( $T_c = 4,5$  К),  $YFe_4Al_8$  ( $T_c = 6$  К) та  $PrAg_6In_6$  ( $T_c = 8,3$  К).

PACS: 74.80.Dm, 74.25.Nf, 75.40.Cx

### Введение

В работах [1–5] описаны кристаллическая структура и магнитные свойства тройных соединений  $RM_4Al_8$  ( $R = La, Ce, Pr, Nd, Sm, Gd, Tb, Dy, Ho, Er, Tm, Yb, Lu, Y, Th; M = V, Cr, Mn, Fe, Co, Ni, Cu$ ) в различных сочетаниях. Все они имеют структуру типа  $ThMn_{12}$ . Результаты экспериментальных исследований низкочастотного импеданса и теплоемкости поликристаллического соединения  $LuFe_4Al_8$ , у которого только атомы железа имеют магнитный момент, приведены в

работах [6–7]. При этом в [6] внимание обращалось на следующие особенности соединения.

В температурном интервале 98–108 К наблюдаются аномалии зависимостей теплоемкости  $C(T)$  и омических потерь  $R_s(T)$ , обусловленные антиферромагнитным упорядочением, с максимумом при  $T = 100,5$  К. Обнаружено, что в узком ( $\sim 2$  К) температурном интервале между  $T_0$  (минимум  $R_s$ ) и  $T_1$  (максимум  $R_s$ ) происходит еще один фазовый переход. Этот переход сопровождается аномальным увеличением теплоемкости в

окрестности  $T_1$ , а также скачкообразным увеличением омических потерь между  $T_0$  и  $T_1$  (ширина скачка  $< 10$  К). Увеличение сопротивления частично или полностью снимается слабым постоянным магнитным полем. При этом в интервале температур  $T_2 < T < T_1$  наблюдается отрицательное магнитосопротивление. При  $T_c \leq 24$  К в соединении обнаружена сверхпроводящая фаза (не более 5%). Это подтверждено наличием эффекта Мейсснера, особенностью в поведении теплоемкости, левитацией, а также резистивными и магнитными измерениями. Полученные результаты объясняются тем, что ниже  $T_1$  магнитная структура представляет собой слоистую антиферромагнитную сверхрешетку «магнетик Fe – немагнетик Lu – магнетик Fe» [5]. В такой системе существенным является спинзависимое рассеяние носителей заряда, приводящее к отрицательному магнитосопротивлению. Сверхпроводящее состояние, вероятно, возникает только в слоях, в которых отсутствует магнитный момент, что и является причиной малого количества сверхпроводящей фазы.

Приведенные в настоящей работе результаты, по сути, являются продолжением экспериментальных исследований, представленных в [6–10]. Предполагалось получить ответы на следующие вопросы.

Фазовый переход в окрестности  $T_1$  и образование сверхпроводящей фазы наблюдаются только в  $\text{LuFe}_4\text{Al}_8$ , или они происходят и в других соединениях этого семейства?

Если эти фазовые переходы существуют и в других соединениях, то как влияют на них магнитные свойства R- и M-элементов?

С этой целью были продолжены исследования магниторезистивных свойств  $\text{LuFe}_4\text{Al}_8$  и проведены исследования температурных зависимостей теплоемкости и активной части импеданса поликристаллических образцов  $\text{ScFe}_4\text{Al}_8$ ,  $\text{CeFe}_4\text{Al}_8$ ,  $\text{CeCr}_4\text{Al}_8$ ,  $\text{YFe}_4\text{Al}_8$ ,  $\text{YCr}_4\text{Al}_8$ ,  $\text{YMn}_4\text{Al}_8$  и  $\text{UCu}_4\text{Al}_8$ ,  $\text{LaAg}_6\text{In}_6$ ,  $\text{PrAg}_6\text{In}_6$ , которые также имеют структуру типа  $\text{ThMn}_{12}$  [9,10]. Данные соединения выбраны по следующим причинам.

Атомы Ce, Sc и Y существенно отличаются по своим магнитным характеристикам (так, например, магнитная восприимчивость Ce  $\chi = 2,5 \cdot 10^{-3}$ , в то время как для Sc  $\chi = 1,8 \cdot 10^{-5}$ ). Это позволяет определить влияние магнитных свойств R-элементов на полный импеданс и теплоемкость исследуемых соединений.

В то же время замена сильного магнетика Fe на слабый антиферромагнетик Cr и слабый парамаг-

нетик Mn определяет влияние магнитных свойств M-элементов.

Соединения  $\text{CeFe}_4\text{Al}_8$  и  $\text{YMn}_4\text{Al}_8$  интересны еще и тем, что в первый входят два магнитных элемента Ce и Fe, а во второй – два практически немагнитных Y и Mn.

В составе соединений  $\text{UCu}_4\text{Al}_8$ ,  $\text{LaAg}_6\text{In}_6$  и  $\text{PrAg}_6\text{In}_6$  присутствуют благородный металл Ag и Cu, которая может обладать свойствами переходного металла.

### Образцы и методика измерений

Все исследуемые образцы были получены в поликристаллическом виде методами дуговой и индукционной плавок.

Сложное сечение образцов не позволило вычислить их удельное электросопротивление. Поэтому бесконтактным резонаторным методом измерялось поверхностное сопротивление  $R_s$ . Установка и методика измерений описаны в работах [6,11]. Поверхностное сопротивление соединений с M = Fe, Cr и Mn измерялось на частоте 10 МГц, а с M = Cu и Ag – на частоте 5 МГц.

В качестве эталонного образца, как и в [6], использовался индий.

Методом абсолютной калориметрии была измерена теплоемкость образцов  $\text{CeCr}_4\text{Al}_8$ ,  $\text{YCr}_4\text{Al}_8$  и  $\text{YMn}_4\text{Al}_8$  в интервале температур 1,5–20 К и  $\text{UCu}_4\text{Al}_8$  – в температурном интервале 1,5–95 К. Наличие множества пиков, а также чрезвычайно широкий температурный интервал, в котором наблюдаются аномалии, можно объяснить неоднозначностью соединений, что заставило принять меры по гомогенизации образцов методом отжига. Измерение теплоемкости образцов  $\text{YCr}_4\text{Al}_8$ ,  $\text{CeFe}_4\text{Al}_8$  и  $\text{YMn}_4\text{Al}_8$  проводились до и после их отжига в течение 7 суток при температуре 800°C.

### Экспериментальные результаты

На рис. 1 представлены температурные зависимости  $R_s$ , приведенного к поверхностному сопротивлению при комнатной температуре  $R_s(300)$ , для соединений  $\text{LuFe}_4\text{Al}_8$  (a),  $\text{ScFe}_4\text{Al}_8$  (б),  $\text{CeFe}_4\text{Al}_8$  (в),  $\text{YCr}_4\text{Al}_8$  (г),  $\text{CeCr}_4\text{Al}_8$  (д) и  $\text{YMn}_4\text{Al}_8$  (е).

Экспериментально установлено (см. рис. 1), что во всех названных соединениях выше некоторой, характерной для каждого из них, температуры  $T^*$  наблюдается линейная зависимость приведенного поверхностного сопротивления от температуры.

(Значения  $T^*$ ,  $T_0$ ,  $T_1$ ,  $T_2$ ,  $T_c$ ,  $R_{s0}/R_s(300)$  и  $A/R_s(300)$ , смысл которых обсуждается ниже, приведены в таблице.)

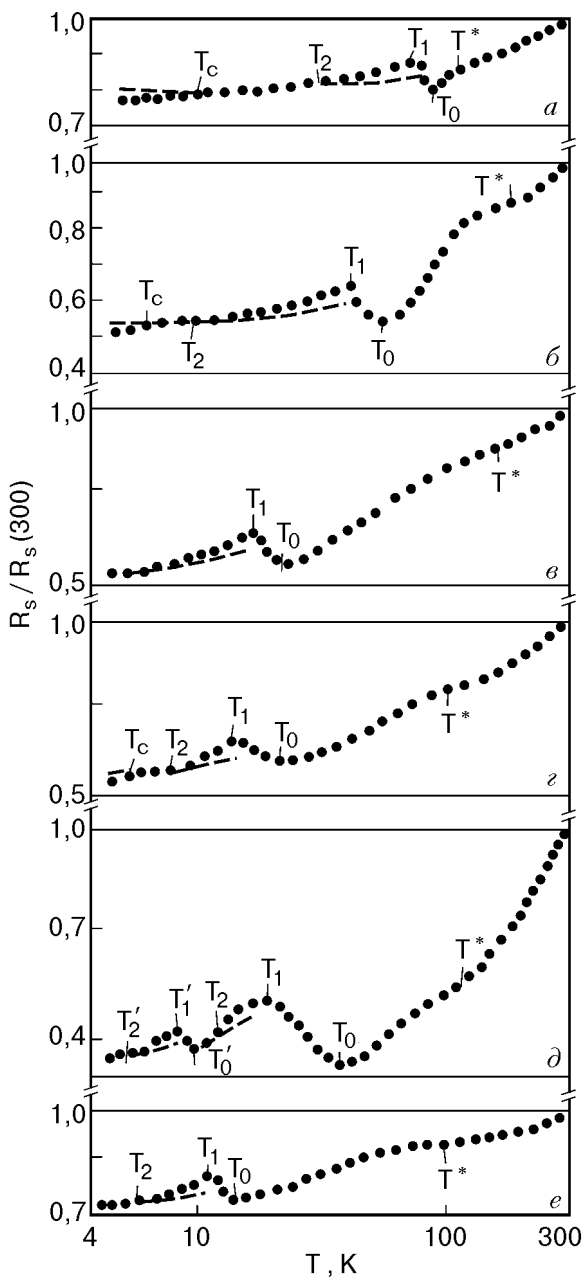


Рис. 1. Температурные зависимости поверхностного сопротивления  $R_s$ , приведенного к  $R_s(300)$ , соединений  $\text{LuFe}_4\text{Al}_8$  (а),  $\text{ScFe}_4\text{Al}_8$  (б),  $\text{CeFe}_4\text{Al}_8$  (в),  $\text{YCr}_4\text{Al}_8$  (г),  $\text{CeCr}_4\text{Al}_8$  (д) и  $\text{YMn}_4\text{Al}_8$  (е).

Во всех исследованных соединениях, так же как и в  $\text{LuFe}_4\text{Al}_8$  (см. рис. 4, а и 5 из [6]), при некоторой температуре  $T_1$  наблюдается переход, сопровождающийся скачкообразным увеличением  $R_s$  и отрицательным магнитосопротивлением, которое существует до некоторой температуры  $T_2 < T_1$ . На рис. 1 значения  $R_s(T)/R_s(300)$  для всех соединений в магнитном поле  $H = 50$  Э показаны пунктиром.

Таблица

Характерные температуры и резистивные параметры исследуемых соединений  $\text{RM}_4\text{Al}_8$

Соединение	$T^*$	$T_0$	$T_1$	$T_2$	$T_c$	$\frac{R_{s0}}{R_s(300)}$	$\frac{A}{R_s(300)}, \text{K}^{-2}$
	К						
$\text{LuFe}_4\text{Al}_8$	100	77–97	74–95	30	24	0,78	$1,52 \cdot 10^{-5}$
$\text{ScFe}_4\text{Al}_8$	180	50	42	10	6	0,518	$7,46 \cdot 10^{-5}$
$\text{CeFe}_4\text{Al}_8$	180	20	17	< 4,2	—	0,496	$2,56 \cdot 10^{-4}$
$\text{YCr}_4\text{Al}_8$	100	18	15	8	4,5–4,9	0,552	$3,0 \cdot 10^{-4}$
$\text{CeCr}_4\text{Al}_8$	160	25; 10	20; 8	10; 6	—	—	—
$\text{YMn}_4\text{Al}_8$	100	13,5	12	8	—	0,755	$3,35 \cdot 10^{-4}$
$\text{YFe}_4\text{Al}_8$	—	55	50	30	6	0,8	—
$\text{UCu}_4\text{Al}_8$	—	—	—	—	—	0,65	—
$\text{LaAg}_6\text{In}_6$	—	—	—	—	—	0,58	—
$\text{PrAg}_6\text{In}_6$	—	—	—	—	8,3	0,69	—

Температурная зависимость поверхностного сопротивления  $R_s$  соединений  $\text{ScFe}_4\text{Al}_8$ ,  $\text{CeFe}_4\text{Al}_8$ ,  $\text{YCr}_4\text{Al}_8$  и  $\text{YMn}_4\text{Al}_8$  в интервале температур  $T_1 - T_2$  может быть описана уравнением

$$R_s(T) = R_{s0} + AT^2. \quad (1)$$

На рис. 2 сплошными линиями показаны зависимости  $R_s(T)/R_s(300)$  соединений  $\text{YMn}_4\text{Al}_8$  (1) и  $\text{CeFe}_4\text{Al}_8$  (2), рассчитанные по формуле (1) с учетом приведенных в таблице параметров, а точками — их экспериментальные значения.

В некоторых образцах  $\text{LuFe}_4\text{Al}_8$  в температурном интервале  $T_1 - T_2$  зависимость  $R_s(T)$  также может быть описана уравнением (1). На рис. 1, а приведена температурная зависимость  $R_s$  именно для такого образца. Однако, как следует из работы [6], температурная зависимость  $R_s$  некоторых образцов  $\text{LuFe}_4\text{Al}_8$  в интервале  $T_1 - T_2$  не подчиняется квадратичному закону, а может быть описана выражением  $R_s \propto T^n$ , где  $n < 1$ .

Для образца  $\text{CeCr}_4\text{Al}_8$  наблюдается серия аномалий  $R_s$  в виде волнообразного изменения сопротивления и отрицательного магнитосопротивления в некотором температурном интервале ниже каждого максимального значения сопротивления (см. рис. 1, д). Таким образом, для данного соединения есть несколько значений  $T_1$  и  $T_2$ .

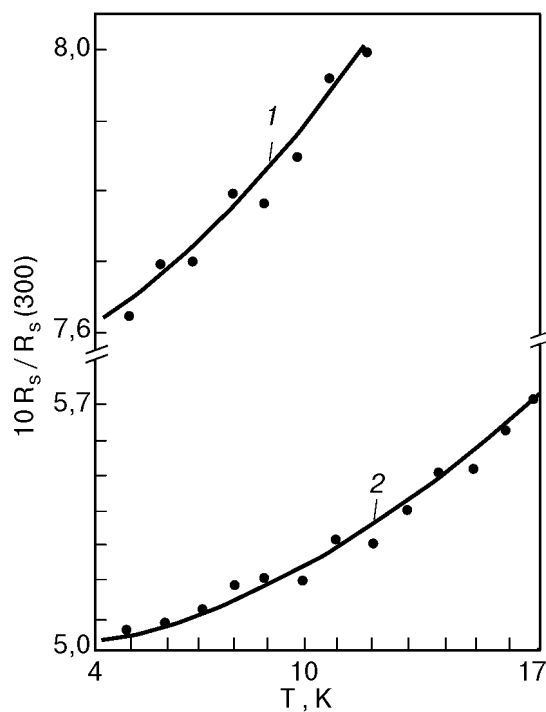


Рис. 2. Температурные зависимости  $R_s/T$  для  $\text{YMn}_4\text{Al}_8$  (1) и  $\text{CeFe}_4\text{Al}_8$  (2), полученные расчетным путем (сплошные линии) и экспериментально (точки).

В  $\text{ScFe}_4\text{Al}_8$  и  $\text{YCr}_4\text{Al}_8$  при некоторой температуре  $T_c$ , которая на несколько градусов ниже  $T_2$ , как и в  $\text{LuFe}_4\text{Al}_8$  [6,7], в незначительном количестве проявляется сверхпроводящая фаза. Это видно из результатов, полученных при измерениях  $R_s(T)$  в магнитном поле 50 Э (см. рис. 1, пунктирные линии). Ниже  $T_c$  магнитосопротивление положительно.

Следует отметить влияние отжига на параметры соединений.

На рис. 3 представлены температурные зависимости теплоемкости соединения  $\text{YCr}_4\text{Al}_8$ , полученные до отжига (рис. 3, а, кривая 1) и после него (рис. 3, а, кривая 2). Здесь же приведены температурные зависимости теплоемкости образцов  $\text{YMn}_4\text{Al}_8$  (рис. 3, а, кривая 3), а также  $\text{CeCr}_4\text{Al}_8$  (рис. 3, б, кривая 3) после отжига. Измерения теплоемкости проводились сериями, причем изменялись начальная температура, скорость прогрева к начальной температуре серии и температурный «шаг». Такой эксперимент позволил установить чувствительность теплоемкости к указанным параметрам в интервалах температур, где наблюдаются аномалии теплоемкости.

Для образца  $\text{YCr}_4\text{Al}_8$  это интервалы 7,5–10 К и 11,5–18 К, а для  $\text{YMn}_4\text{Al}_8$  – 10–15 К (рис. 3). Зависимость теплоемкости от кинетических параметров и термической предыстории образца озна-

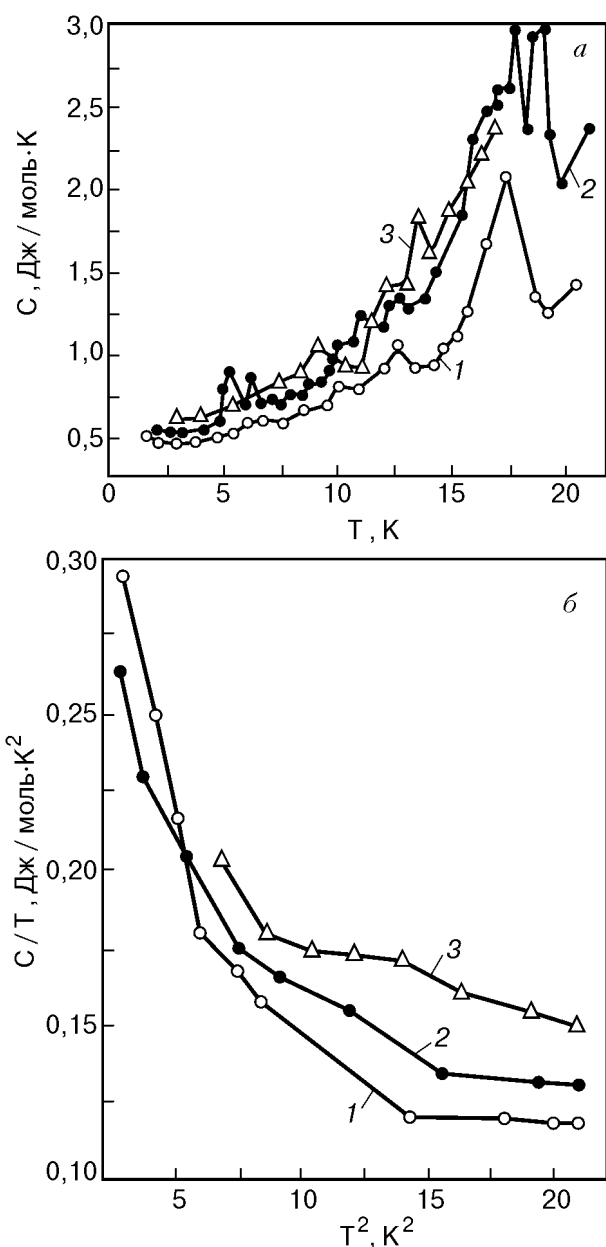


Рис. 3. Температурные зависимости теплоемкости соединения  $\text{YCr}_4\text{Al}_8$  до отжига (1) и после него (2), а также  $\text{YMn}_4\text{Al}_8$  после отжига (3) (а). Температурные зависимости теплоемкости отожженных соединений  $\text{YCr}_4\text{Al}_8$  (1)  $\text{YMn}_4\text{Al}_8$  (2) и  $\text{CeCr}_4\text{Al}_8$  (3) в координатах  $C/T(T^2)$  (б).

чает наличие гистерезиса, что позволяет определить фазовые превращения как переходы I рода.

На рис. 4 представлены данные по температурным зависимостям теплоемкости и сопротивления соединения  $\text{YCr}_4\text{Al}_8$ . Как и в случае с  $\text{LuFe}_4\text{Al}_8$ , наблюдается корреляция между аномалиями теплоемкости и сопротивления. При температуре  $T_1$  начинается влияние слабого магнитного поля на сопротивление (рис. 4, а, пунктир), при температуре  $T_2$  влияние поля прекращается, а при  $T_c$  происходит образование сверхпроводящей фазы.

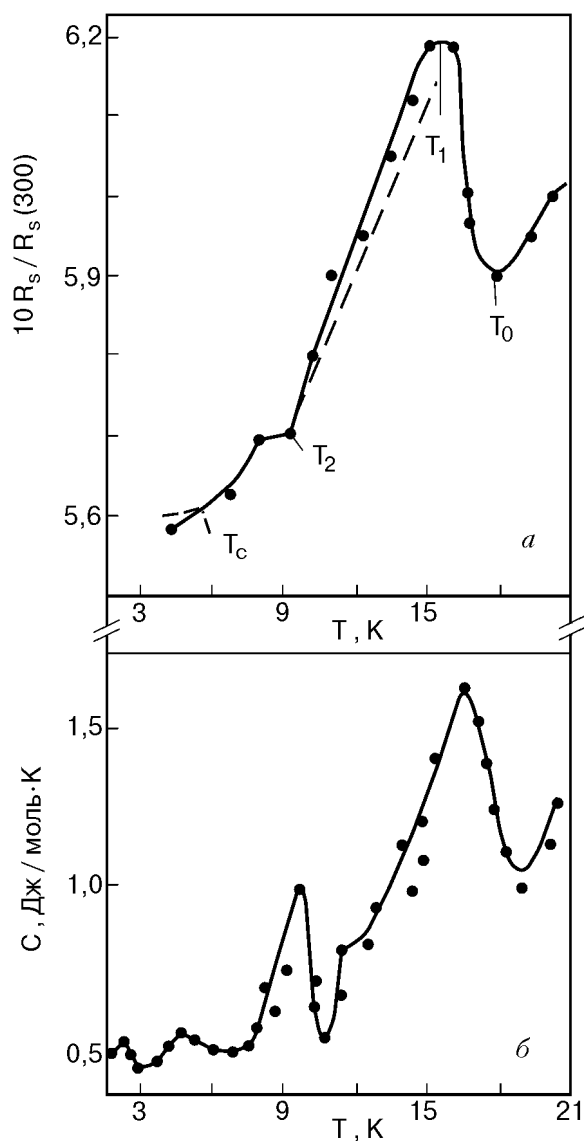


Рис. 4. Температурные зависимости  $R_s/R_s(300)$  (а) и  $C$  (б) соединения  $\text{YCr}_4\text{Al}_8$ .

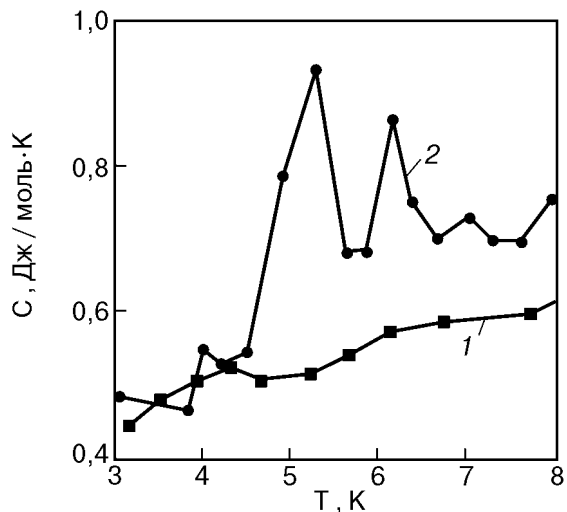


Рис. 5. Температурные зависимости теплоемкости соединения  $\text{YCr}_4\text{Al}_8$  до отжига (1) и после него (2).

Именно при этих температурах наблюдаются особенности в поведении теплоемкости.

На рис. 5 приведены температурные зависимости теплоемкости соединения  $\text{YCr}_4\text{Al}_8$  в области температур образования сверхпроводящей фазы до отжига образца (кривая 1) и после него (кривая 2). Из рисунка следует, что отжиг приводит к повышению  $T_c$  и увеличению амплитуды аномалии  $C$ . В то же время увеличение процента сверхпроводящей фазы в результате отжига, согласно измерениям  $R_s$ , не наблюдается, хотя влияние постоянного магнитного поля начинается при больших температурах (4,5 К до отжига и 4,9 К после термообработки).

На рис. 6 представлены температурные зависимости  $R_s$  (1) и реактивной компоненты полного импеданса  $X_s$  (2) соединения  $\text{LuFe}_4\text{Al}_8$  при  $H = 0$  и  $H = 50$  Э:  $R_s$  (3) и  $X_s$  (4), приведенные к  $R_s(85)$  и  $X_s(85)$  соответственно. На рисунке хорошо видна корреляция зависимостей  $R_s(T)$  и  $X_s(T)$ .

В работе [6] указано, что приложение постоянного магнитного поля ( $H \sim 50$  Э) при  $T < T_1$  практически полностью устраняет скачкообразное повышение поверхностного сопротивления соединения  $\text{LuFe}_4\text{Al}_8$ . Однако исследовались и такие образцы  $\text{LuFe}_4\text{Al}_8$ , в которых амплитуда аномалии  $R_s$  при  $T = T_1$  велика. В них наблюдается скачкообразное снижение  $R_s$  с увеличением постоянного магнитного поля. На рис. 7 приведена зависимость  $R_s(H)$  одного из таких образцов при  $T = 30$  К.

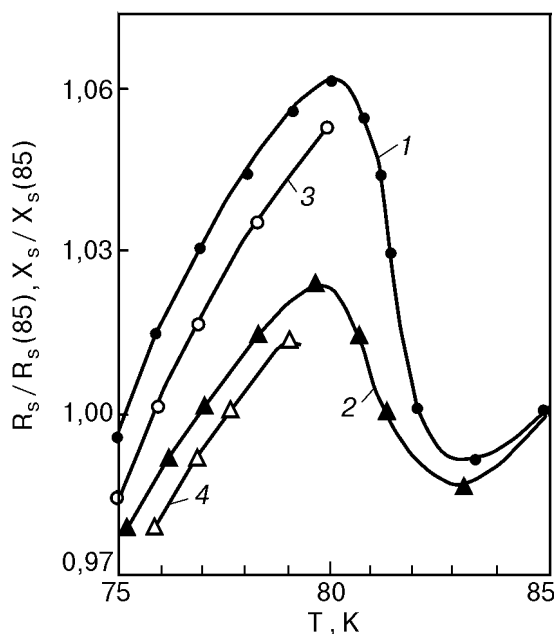


Рис. 6. Температурные зависимости активной  $R_s$  (1) и реактивной  $X_s$  (2) компонент импеданса соединения  $\text{LuFe}_4\text{Al}_8$  при  $H = 0$ , то же при  $H = 50$  Э  $R_s$  (3),  $X_s$  (4).

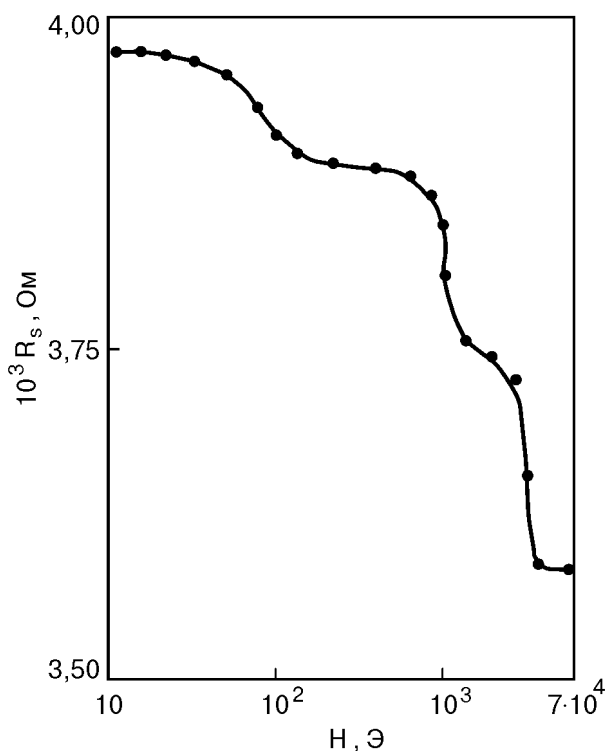


Рис. 7. Зависимость поверхностного сопротивления  $R_s$  соединения  $\text{LuFe}_4\text{Al}_8$  от напряженности магнитного поля при  $T = 30$  К.

Следует отметить, что в некоторых образцах (например, в  $\text{YMn}_4\text{Al}_8$ ) после отжига амплитуда скачкообразного увеличения  $R_s$ , а также влияние постоянного магнитного поля на омические потери снижаются.

Для сравнения характеристик зависимостей  $C(T)$  и  $R_s(T)$  соединений, выполненных на основе переходных и благородных металлов, проведено измерение  $R_s(T)$   $\text{UCu}_4\text{Al}_8$ , а также соединений  $\text{LaAg}_6\text{In}_6$  и  $\text{PrAg}_6\text{In}_6$  в температурном интервале 4,5–300 К. Теплоемкость соединения  $\text{UCu}_4\text{Al}_8$  измерена в интервале температур 2–95 К. Зависимости  $R_s(T)/R_s(300)$  для этих соединений приведены на рис. 8:  $\text{UCu}_4\text{Al}_8$  (а),  $\text{LaAg}_6\text{In}_6$  (б) и  $\text{PrAg}_6\text{In}_6$  (в), а кривая  $C(T)$  для  $\text{UCu}_4\text{Al}_8$  – на рис. 9. На вставке к рис. 8, б показаны зависимости  $R_s(T)$  соединений  $\text{LaAg}_6\text{In}_6$  (1) и  $\text{PrAg}_6\text{In}_6$  (2) в температурном интервале их пересечения. На вставке к рис. 8, в показана температурная зависимость  $R_s(T)/R_s(300)$   $\text{PrAg}_6\text{In}_6$  в температурном интервале 5–9 К, измеренная при  $H = 0$  (кривая 1) и в постоянном магнитном поле 500 Э (кривая 2).

### Обсуждение результатов

Анализируя полученные результаты, прежде всего отметим общие особенности физических ха-

рактеристик исследованных соединений системы  $\text{RM}_4\text{Al}_8$ .

Во всех исследуемых соединениях с переходными металлами на температурной зависимости  $R_s$  наблюдается линейный участок, что является

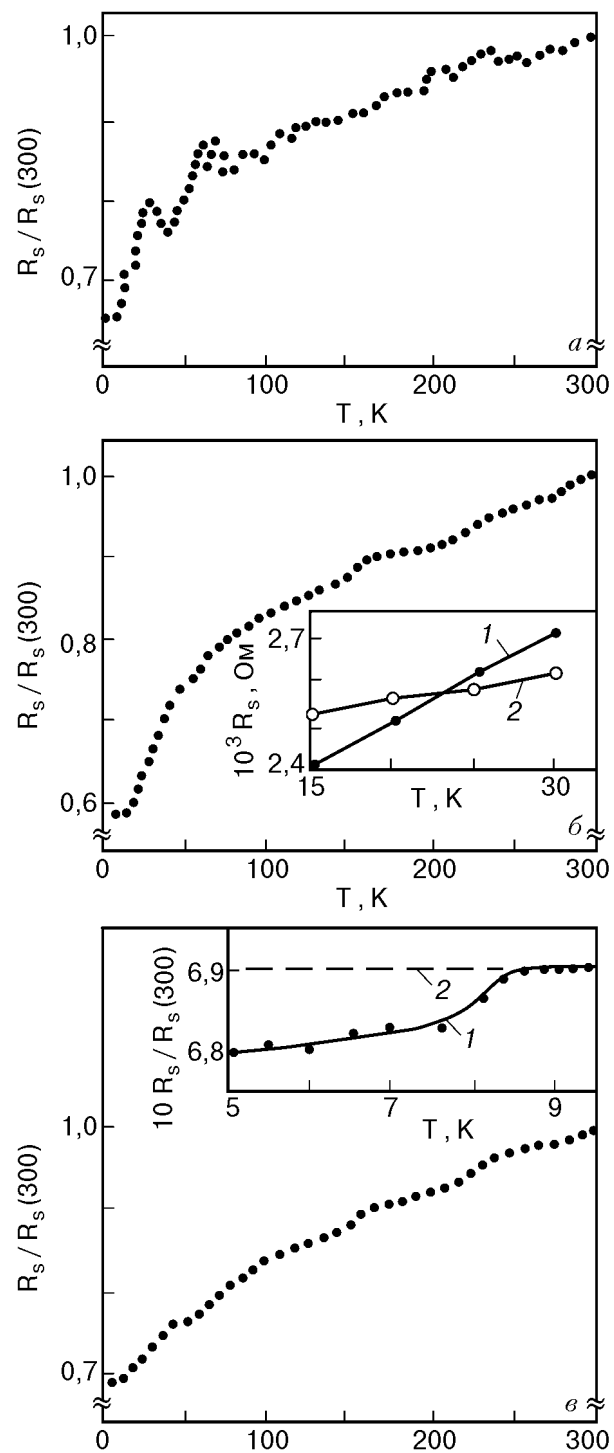


Рис. 8. Температурные зависимости  $R_s/R_s(300)$  соединений  $\text{UCu}_4\text{Al}_8$  (а),  $\text{LaAg}_6\text{In}_6$  (б) и  $\text{PrAg}_6\text{In}_6$  (в). На вставке к рис. 8, б:  $R_s(T)$  соединений  $\text{LaAg}_6\text{In}_6$  (1) и  $\text{PrAg}_6\text{In}_6$  (2) в температурном интервале 15–30 К. На вставке к рис. 8, в:  $R_s(T)/R_s(300)$  соединения  $\text{PrAg}_6\text{In}_6$ ,  $H = 0$  (1) и  $H = 500$  Э (2).

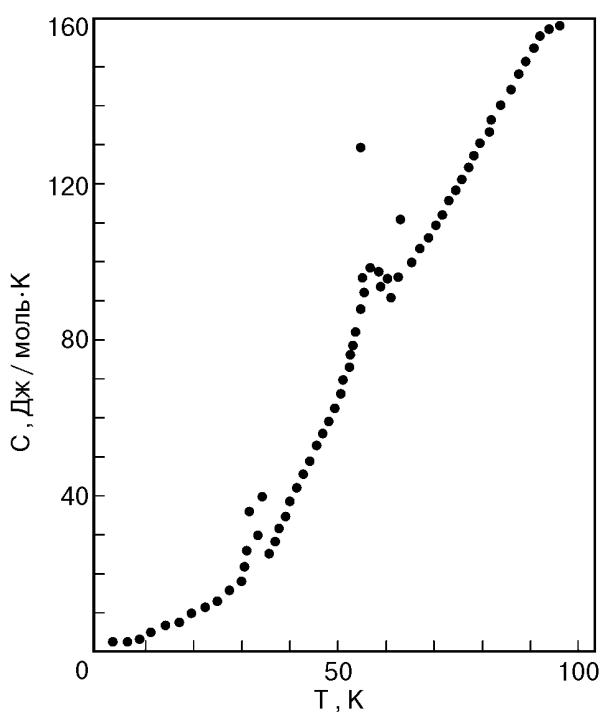


Рис. 9. Температурная зависимость теплоемкости соединения  $\text{UCu}_4\text{Al}_8$ .

характерным признаком для соединений с редкоземельными элементами. Линейная зависимость наблюдается в области парамагнетизма. При  $T < T^*$  происходит фазовый переход, сопровождающийся практически скачкообразным возрастанием сопротивления. При температурах ниже фазового перехода с понижением температуры сопротивление уменьшается, при этом крутизна изменения для различных образцов отличается. Тем не менее общим типичным признаком указанного фазового перехода является отрицательное магнитосопротивление, что наблюдается для всех исследованных образцов в интервале температур  $T_1 - T_2$  в слабом ( $\sim 50$  Э) постоянном магнитном поле. Причем чувствительным к переходу и магнитному полю оказывается не только  $R_s$ , но и  $X_s$  и, следовательно, полный импеданс, как это видно на рис. 6.

По-видимому, описанные особенности поведения  $R_s$  при  $T < T_1$  могут быть общими для всего семейства соединений  $\text{RM}_4\text{Al}_8$  с переходными металлами.

Это связано с тем, что, согласно [1–3], все соединения данного типа имеют одинаковую магнитную структуру, состоящую из трех магнитных подрешеток: R- и двух M-подрешеток. При температуре Нееля  $T_N$  все они претерпевают антиферромагнитное упорядочение, а при  $T_1 < T_N$  происходит фазовый магнитоструктурный переход, при котором формируются антиферромагнитно свя-

занные слои, разделенные слоями редкоземельного металла, который может быть немагнитным, слабомагнитным или магнитным. Другими словами, формируется сверхрешетка «магнетик — редкая земля — магнетик», электрические параметры которой чувствительны к слабому постоянному магнитному полю.

Если граничная область между антиферромагнитными слоями является немагнитной, то именно здесь может реализоваться сверхпроводимость и, таким образом, образуется сверхрешетка «магнетик — сверхпроводник — магнетик». Этим можно объяснить небольшое количество сверхпроводящей фазы. В различных соединениях магнитным моментом могут обладать как атомы M, так и атомы R, что изменяет условия возникновения сверхпроводящей фазы. Чем сильнее выражены магнитные свойства R, тем меньше образуется сверхпроводящей фазы. Действительно, в соединениях со скандием при сильномагнитном переходном металле Fe сверхпроводящая фаза образуется, хотя и в меньшем количестве, чем в соединении с Lu. В то же время в соединении с церием — сильным парамагнетиком — сверхпроводимость не наблюдается, по крайней мере при  $T \leq 2$  К. Кроме того, по утверждению авторов [12], в  $\text{CeCr}_4\text{Al}_8$  магнитное упорядочение не наблюдается. В [12] отмечается большое значение коэффициента Зоммерфельда  $\gamma$ , полученное при низких температурах и указывающее на присутствие тяжелых фермионов в этом соединении. На рис. 3, б, (кривая 3) приведена полученная нами зависимость  $C/T$  от  $T^2$  для образца  $\text{CeCr}_4\text{Al}_8$ . Наши результаты в пределах 10–15% совпадают с данными, приведенными в [12].

Интересным оказывается соединение  $\text{YCr}_4\text{Al}_8$ , состоящее из немагнитного иттрия и слабого антиферромагнетика хрома. Для этого соединения  $T_c = 4,5$  К. Но наши предварительные исследования монокристалла  $\text{YFe}_4\text{Al}_8$  указывают на то, что замена Cr на Fe повышает  $T_c$  до 6 К.

Обращает на себя внимание и большое (0,22 Дж/моль·К<sup>2</sup>) значение  $\gamma$  в соединении  $\text{YCr}_4\text{Al}_8$  (рис. 3, б кривые 1, 2). Напомним, что в  $\text{LuFe}_4\text{Al}_8$   $\gamma$  равен 0,075 Дж/моль·К<sup>2</sup>.

Отметим, что в соединении  $\text{YMn}_4\text{Al}_8$  сверхпроводящая фаза также не образуется. В это соединение входят практически немагнитный иттрий и слабомагнитный марганец. Марганец может быть как магнитным, так и немагнитным в зависимости от расстояния Mn–Mn. Критическое расстояние  $d_c = 2,6$  Å, при  $d < d_c$  магнитный момент исчезает. На это следует обратить внимание в связи со следующими обстоятельствами. Полученные на-

ми результаты для зависимости теплоемкости  $C(T)$  и сопротивления  $R(T)$  соединения  $\text{YMn}_4\text{Al}_8$  отличаются от приведенных в работе [13], где не отмечено никаких аномалий в поведении теплоемкости в интервале 1,5–200 К. Исследуемый нами образец при низких температурах проявляет аномалии, которые сопровождаются гистерезисом. Такое расхождение результатов может быть вызвано существованием в исследуемом нами образце фазы с Mn, который обладает магнитным моментом и испытывает магнитное упорядочение при низких температурах.

И все-таки отметим, что поведение соединений  $\text{CeFe}_4\text{Al}_8$ ,  $\text{CeCr}_4\text{Al}_8$  и  $\text{YMn}_4\text{Al}_8$  имеет те же характерные особенности, что и систем, проявляющих сверхпроводимость: скачкообразное возрастание электросопротивления при некоторой температуре, сопровождающееся при понижении температуры отрицательным магнитосопротивлением. (Не исключено, что в этих соединениях при более низких температурах может образовываться сверхпроводящая фаза.)

На рис. 8,а и 9 видно, что на регулярных зависимостях  $R_s(T)$  и  $C(T)$  соединения  $\text{UCu}_4\text{Al}_8$  наблюдаются две заметные аномалии: в области 30–40 К и в области 60 К. Небольшие аномалии  $R_s(T)$  обнаружены также в интервале температур 225–200 К. Известно, что для  $\text{UCu}_{4+x}\text{Al}_{8-x}$   $T_N$  чувствительна к концентрационному соотношению компонент. При  $x = 0$   $T_N = 40$  К и уменьшается до 5 К при  $x = 1,5$  [9]. Для исследованных нами образцов степень отклонения от стехиометрии неизвестна. Поэтому аномалии при  $T = 30$ –40 К мы связываем с антиферромагнитным упорядочением. Поскольку эти температуры немного ниже 40 К, то, возможно, остальные аномалии связаны с несовершенством образцов.

Следует отметить, что, в отличие от систем типа  $\text{RFe}_4\text{Al}_8$ , в системе  $\text{UCu}_4\text{Al}_8$  отрицательное магнитосопротивление не наблюдается.

На температурных зависимостях  $R_s$  соединений  $\text{LaAg}_6\text{In}_6$  и  $\text{PrAg}_6\text{In}_6$  в интервале температур 5–300 К аномалий не наблюдается, как и на  $\rho(T)$  в работе [10]. Это подтверждает, что в данном температурном интервале антиферромагнитное упорядочение отсутствует. Сравнение зависимос-

тей  $R_s(T)$  и  $\rho(T)$  из [10] показывает, что во всем исследованном температурном интервале выполняется обычное соотношение электродинамики:  $R_s \sim \rho^{0.5}$ .

Довольно неожиданным оказалось появление сверхпроводящей фазы в соединении  $\text{PrAg}_6\text{In}_6$  с  $T_c = 8,3$  К. Ее проявление показано на вставке к рис. 8,в. Ранее было известно о существовании сверхпроводящей фазы в псевдотройном соединении  $\text{Pr}(\text{Rh}_{0,85}\text{Ru}_{0,15})_4\text{B}_4$  с  $T_c = 2,3$  К [14] и в  $\text{PrRu}_4\text{As}_{12}$  с  $T_c = 2,4$  К [15]. Особенно интересные данные о высокотемпературном сверхпроводнике  $\text{PrBa}_2\text{Cu}_3\text{O}_x$  приведены в [16–18]. В этих работах отмечены необычные свойства такого соединения, неоднородность его структурных и физических свойств и их сильная зависимость от технологических условий получения образцов. Так, образцы могут быть изолятором, металлом или сверхпроводником с  $T_c$  от нуля до 80 К. Количество сверхпроводящей фазы также колеблется в широких пределах. Это еще раз указывает на то, как важны дальнейшие комплексные исследования тройных редкоземельных соединений, изготовленных различными технологическими приемами. В образцах  $\text{UCu}_4\text{Al}_8$  и  $\text{LaAg}_6\text{In}_6$  сверхпроводящая фаза не обнаружена, по крайней мере выше 4,5 К.

## Заключение

Таким образом, обнаружение сверхпроводимости в соединениях  $\text{LuFe}_4\text{Al}_8$ ,  $\text{ScFe}_4\text{Al}_8$ ,  $\text{YFe}_4\text{Al}_8$ ,  $\text{YCr}_4\text{Al}_8$  и  $\text{PrAg}_6\text{In}_6$  позволяет говорить о новом классе сверхпроводников, сверхпроводимость которых связана с магнитным состоянием соединений\*.

Следует отметить, что от технологии приготовления образцов во многом зависят их свойства, которые оказываются очень чувствительными к стехиометрии. Так, например, в соединении  $\text{RFe}_{x}\text{Al}_{12-x}$  антиферромагнетизм, который реализуется при  $x = 4$ , с возрастанием  $x$  трансформируется в спиновое стекло и затем в ферримагнетизм. Этим, возможно, могут быть объяснены некоторые противоречия, имеющиеся в литературе относительно свойств и параметров соединений этого семейства.

\* Когда настоящая статья уже находилась в наборе, появились две работы (K. Shimizu, T. Kimura, S. Furimoto, K. Takeda, K. Kontani, Y. Onuki, and K. Amaya, *Nature*, **412**, 316 (2001); S. Saxena and P. Littlewood, *Nature*, **412**, 290 (2001)), в которых сообщалось о сверхпроводимости чистого железа при  $T < 2$  К в условиях сильного сжатия. В связи с этим мы хотели бы заметить, что, например, в монокристалле  $\text{ScFe}_4\text{Al}_8$  расстояние Fe–Fe составляет 2,52 Å вместо 2,86 Å в чистом металлическом железе (J. Stepien-Damm, частное сообщение). Таким образом, в кристаллической решетке типа  $\text{ThMn}_{12}$  железо находится в условиях сильного химического сжатия (около 12%). Поэтому, возможно, что наблюдаемая нами сверхпроводимость связана со сверхпроводимостью химически сжатых подрешеток железа и хрома.

Следует отметить, что скачкообразное возрастание электрического сопротивления вблизи температуры Нееля наблюдалось ранее на бинарных соединениях  $RMn_{12}$ , также имеющих структуру типа  $ThMn_{12}$  [19]. Поэтому в дальнейшем представляет интерес выяснение общих и отличительных черт магнитного упорядочения в тройных и бинарных соединениях, имеющих одинаковую структуру.

Для того чтобы обсуждать вопросы о ферми- или нефермижидкостном поведении соединений, типа магнитных, структурных и сверхпроводящих переходов, значениях их характерных параметров, наличии тяжелых фермионов и других свойствах, нужны дальнейшие исследования на заведомо качественных образцах, желательно на монокристаллах.

Авторы выражают благодарность В. Н. Светлову, Е. Л. Кравченко и В. Б. Степанову за работы, связанные с отжигом некоторых из исследованных образцов.

Работа выполнена при поддержке Министерства образования и науки Украины, договор № 2М/75-2000.

1. K. H. J. Buschow, J. H. N. Van Vucht, and W. W. Van der Hoogenhoff, *J. Less-Common. Metals* **50**, 145 (1976).
2. A. M. Van der Kraan and K. H. J. Buschow, *Physica* **86**, 93 (1997).
3. K. H. J. Buschow, and A. M. Van der Kraan, *J. Phys.* **F8**, 921 (1978).
4. J. A. Paixao, S. Langridge, S. A. Sorensen, B. Lebech, A. P. Gonsalves, G. H. Lander, P. J. Provn, P. Burlet, and E. Talik, *Physica* **B234–236**, 614 (1997).
5. P. Schobinger-Papamantellos, K. H. J. Buschow, and C. Ritter, *J. Magn. Magn. Mater.* **186**, 21 (1998).
6. А. М. Гуревич, В. М. Дмитриев, В. Н. Еронкин, Л. А. Ищенко, Н. Н. Пренцлау, Л. В. Шлык, *ФНТ* **25**, 15 (1999).
7. А. М. Гуревич, В. М. Дмитриев, В. Н. Еронкин, Л. А. Ищенко, Н. Н. Пренцлау, Л. В. Шлык, *Тез. докл. XXXI совещ. по физ. низк. темп.*, Москва (1998), p. 142.
8. W. Suski, B. Kotur, and K. Wochowski, *Physica* **B281–282**, 81 (2000).
9. W. Suski, *Handbook of the Physics and Chemistry of Rare Earths*, Karl A. Gschneidner, Jr, and LeRoy Eyring (eds.), Elsevier, Amsterdam, Lausanne, New York, Oxford, Shannon, Tokyo (1996).

10. V. I. Zaremba, Ya. M. Kalychak, Ya. V. Galadzhun, W. Suski, and K. Wochowski, *J. Solid State Chem.* **145**, 216 (1999).
11. В. М. Дмитриев, М. Н. Офицеров, Н. Н. Пренцлау, *Радиотехника*, вып. **97**, 91 (1993).
12. H. Ido, T. Nishioka, and M. Kontani, *J. Magn. Magn. Mater.* **177–181**, 385 (1998).
13. I. H. Hagmusa, J. C. P. Klaasse, E. Bruk, F. R. de Boer, and K. H. J. Buschow, *J. Alloys and Compounds* **299**, 21 (2000).
14. D. C. Johnston, *Solid State Commun.* **24**, 699 (1977).
15. Jchimin Shirotani, Takanori Uchiumi, Katsuski Ohno, Chihiro Sekine, Yasuhiro Nakazawa, Kazushi Kanoda, Sakae Todo, and Takehiko Yagi, *Phys. Rev.* **B56**, 7866 (1997).
16. H. A. Blackstead, John D. Dow, B. B. Chrisey, J. S. Horwits, M. A. Black, P. J. McGinn, A. E. Klunzinger, and D. B. Pulling, *Phys. Rev.* **B54**, 6122 (1996).
17. Zhigang Zou, Jinhua Ye, Kunihiko Oka, and Yoshikazu Nishihara, *Phys. Rev. Lett.* **80**, 1074 (1998).
18. Jinhua Ye, Zhigang Zou, Akiyuki Matsushita, Kunihiko Oka, Yoshikazu Nishihara, and Takehiko Matsumoto, *Phys. Rev.* **B58**, 619 (1998).
19. Yasushi Amako, Hiroyuki Nagai, and Kendo Adachi, *J. Phys. Soc. Jpn.* **62**, 3355 (1993).

### Impedance and heat capacity of $RM_4Al_8$ and $R\text{Ag}_6\text{In}_6$ compounds

A. M. Gurevich, V. M. Dmitriev, V. N. Eropkin, B. Yu. Kotur, N. N. Prentslau, V. Suski, A. T. Terekhov, and L. V. Shlyk

The experimental data on surface resistance and heat capacity of triple rare-earth compounds —  $\text{LuFe}_4\text{Al}_8$ ,  $\text{ScFe}_4\text{Al}_8$ ,  $\text{CeFe}_4\text{Al}_8$ ,  $\text{CeCr}_4\text{Al}_8$ ,  $\text{YFe}_4\text{Al}_8$ ,  $\text{YCr}_4\text{Al}_8$ ,  $\text{YMn}_4\text{Al}_8$ ,  $\text{UCu}_4\text{Al}_8$ ,  $\text{LaAg}_6\text{In}_6$  and  $\text{PrAg}_6\text{In}_6$ , of the  $ThMn_{12}$  type structure are presented. It is shown that the total impedance and the heat capacity exhibit a jump for a certain temperature which is typical of each compound with Fe, Cr and Mn and is below the Neel point. For lower temperatures there occurs a negative magnetoresistance in a weak magnetic field in these compounds. Superconducting phases are observed in the compounds  $\text{ScFe}_4\text{Al}_8$  ( $T_c = 6$  K),  $\text{YCr}_4\text{Al}_8$  ( $T_c = 4,5$  K),  $\text{YFe}_4\text{Al}_8$  ( $T_c = 6$  K),  $\text{PrAg}_6\text{In}_6$  ( $T_c = 8,3$  K).